(1) Veröffentlichungsnummer:

0 361 583 A1

(E)

EUROPÄISCHE PATENTANMELDUNG

Anmeldenummer: 89202322.7

(51) Int. Cl.5. F42C 11/06

22 Anmeldetag: 15.09.89

© Priorität: 30.09.88 CH 3641/88

(43) Veröffentlichungstag der Anmeldung: 04.04.90 Patentblatt 90/14

Benannte Vertragsstaaten:

AT BE CH DE ES FR GB IT LI LU NL SE

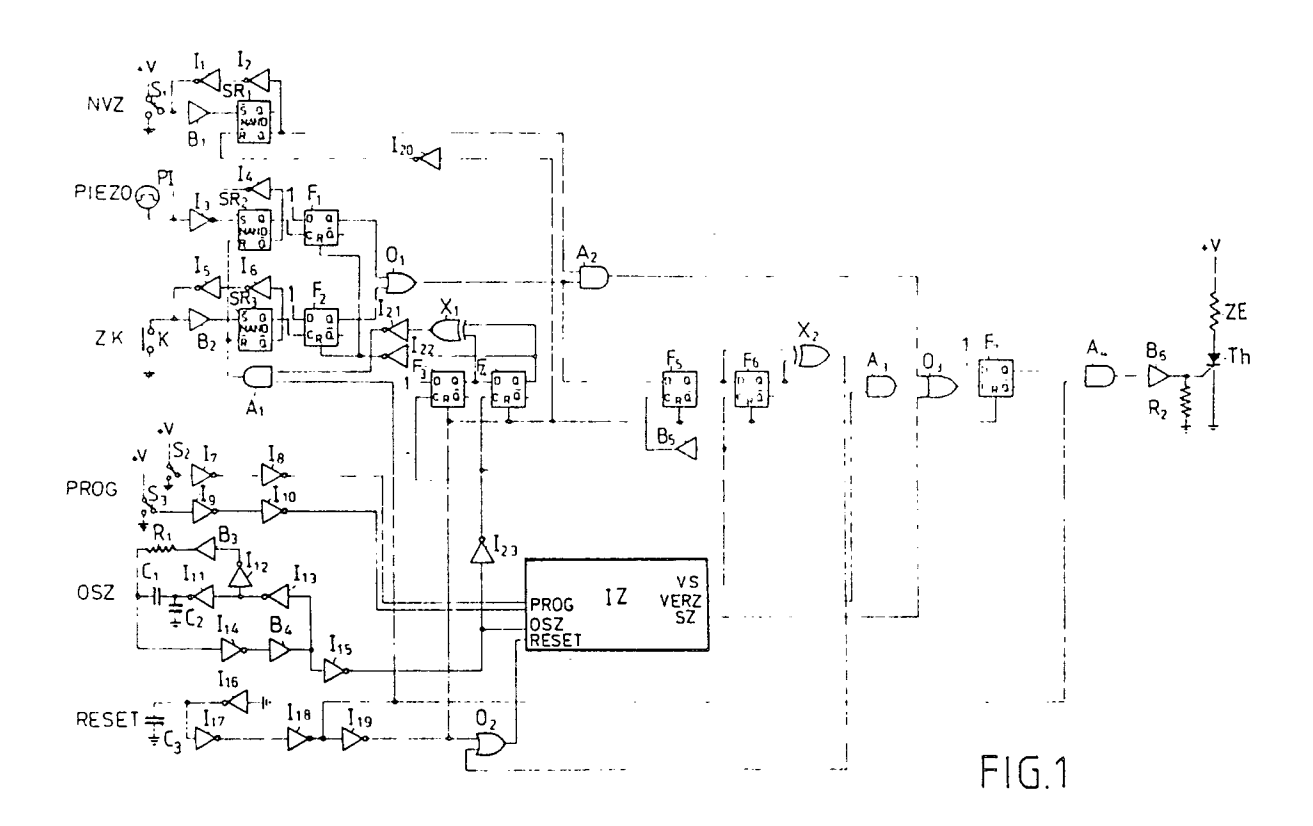
Anmelder: Schweizerische
Eidgenossenschaft vertreten durch die Eidg.
Munitionsfabrik Thun der Gruppe für
Rüstungsdienste
Allmendstrasse 74
CH-3602 Thun(CH)

Erfinder: Rubin, Gaston
Buchholzstrasse 76
CH-3604 Thun(CH)
Erfinder: Schneider, Hans
Bürglenstrasse 21
CH-3600 Thun(CH)

Vertreter: Frauenknecht, Alois J. c/o PPS Polyvalent Patent Service AG, Mellingerstrasse 1 Postfach 2100 CH-5400 Baden(CH)

54) Elektrischer Zünder für ein Geschoss.

(57) Herkömmliche elektrische oder elektronische Zünder für Geschosse mit einem elektromagnetischen Generator haben einen zu hohen Stromverbrauch, um Verzögerungszeiten über 15 Sekunden zu gewährleisten, so dass die üblichen mechanischen Zünder nicht oder kaum ersetzt werden können. Es wird nun ein elektrischer Geschosszünder vorgestellt, der einen einzigen niederfrequenten RC-Oszillator und einen Impulszähler aufweist, dessen Ausgänge Steuersignale für die Vorrohrsicherheit, für die Eindringverzögerung und für die Selbstzerlemgung von Blindgängern bereitstellt, wobei Verzögerungszeiten in der Grössenordnung von mehreren Minuten problemlos erhalten werden. Ein programmierbar logischer Schaltkreis mit einer Schaltung Svon logischen Gattern wählt die erwünschten Verzöoerungen aus durch Verbinden mit dem zugehörigen Ausgang des Impulszählers, und führt die Steuersignale weiter an den pyrotechnischen Auslösemechanismus.



Elektrischer Zünder für ein Geschoss

Die Erfindung betrifft einen elektrischen Zünder für ein Geschoss mit einem elektrischen Zündgenerator und einem die Zündenergie speichernden Kondensator, an welchem eine Zündkette mit einem Einschaltorgan und einer elektronischen Schaltungsanordnung angeschlossen ist, die die Vorrohrsicherheit, die Eindringverzögerung des Geschosses und dessen Selbstzerlegung überwacht und steuert.

Es ist ein elektronischer Zünder bekannt, der die Zündenergie des Generators in einem Kondensator speichert und mittels eines Spannungsstabilisators die Schwankungen des Verbraucherstromes ausgleicht (CH-A5-608 604). Zur Ausübung der verschiedenen Funktionen der Vorrohrsicherheit, der Selbstzerlegung und der Aufschlagverzögerung sind zwei Oszillatoren mit unterschiedlichen Frequenzen vorgesehen, insbesondere von 500 Hz für die Vorrohrsicherheit und von 35 kHz für die Aufschlagverzögerung. Die beiden Oszillatoren sind je mit einem Zähler verbunden und werden nacheinander eingeschaltet, d.h. zunächst werden die Vorrohrsicherheit und die Selbstzerlegungszeit mit dem ersten Oszillator abgezählt und hernach wird die Aufschlagverzögerung durch Umschalten auf den anderen Oszillator und Ausschalten des ersten Oszillators abgezählt. Die Schaltung des elektronischen Zünders ist als Festkörperschaltung, d.h. vor allem mit CMOS-Transistoren, ausgelegt.

Mit dem obenerwähnten elektronischen Zünder sind wegen des hohen Stromverbrauchs maximale Verzögerungszeiten für die Vorrohrsicherheit. Selbstzerlegung und Aufschlagverzögerung von längstens 15 Sekunden möglich. Ausserdem ist mit der beschriebenen Schaltung keine eigentliche Selbstzerlegung von Blindgängern gegeben, da die dortige Selbstzerlegung zeitlich zwischen der Vorrohrsicherheit und der Aufschlagsverzögerung eingeordnet ist. Die möglichen Einstellungen der Verzögerungszeiten der Geschosszündung sind daher sehr beschränkt, so dass der vorerwähnte elektronische Zünder nur für ganz bestimmte Munitionsarten geeignet sein kann.

Der Erfindung liegt nun die Aufgabe zugrunde, einen elektrischen Zünder zu schaffen, der sehr umfassend einsetzbar ist, d.h. für eine grosse Anzahl verschiedener Munitionsarten programmierbar ist. Dies bedingt, dass die elektronische Schaltung des elektrischen Zünders besonders stromsparend ausgelegt ist, damit Verzögerungszeiten in der Grössenordnung von Minuten erreicht werden können.

Diese Aufgabe wird erfindungsgemäss bei einem elektrischen Zünder für ein Geschoss dadurch gelöst, dass

- ein einziger niederfrequenter RC-Oszillator einen Impulszähler mit einer Impulsfolge beaufschlagt,
- der Impulszähler eine Vielzahl der von der eingehenden Impulsfolge abgeleiteten Steuersignale an mehreren Ausgängen bereitstellt, und
- ein programmierbarer logischer Schaltkreis mit einer Schaltung von logischen Gattern durch Verbinden mit dem zugehörigen Ausgang des Impulszählers ein Steuersignal für die Vorrohrsicherheit, ein Steuersignal für die Eindringverzögerung und ein Steuersignal für die Selbstzerlegung auswählt und an ein logisches Schaltnetz für den pyrotechnischen Auslösemechanismus weiterführt.

Die Erfindung beruht auf der grundlegenden Erkenntnis, dass die verschiedenen Steuersignale für die Funktionen der Vorrohrsicherheit, der Eindringverzögerung und der Selbstzerlegung durch geeignete Wahl der Oszillatorfrequenz und durch Frequenzteilung alle von einem einzigen niederfrequenten RC-Oszillator und einem Impulszähler erzeugt werden können. Dies erlaubt eine besonders stromsparende Ausführung und eine ein fache Programmierbarkeit der gewünschten Verzögerungssignale, sowie eine hohe Festigkeit gegenüber Stösse und Vibrationen.

Wegen der hohen Abschussbeschleunigungen sowie Auftreffverzögerungen von 50'000 g kommen bei den angesprochenen Munitionsarten nur elektromagnetische oder piezoelektrische Generatoren mit einem die Zündenergie speichernden Kondensator als Energiequelle in Frage. Aufgrund der erfindungsgemässen, besonders stromsparenden Ausführung des elektrischen Zünders sind dadurch Verzögerungszeiten in der Grössenordnung von 10 Minuten gut reproduzierbar und zuverlässig zu verwirklichen. Damit ist der erfindungsgemässe elektrische Zünder ohne spezielle Anpassungen für sehr viele verschiedene Munitionsarten geeignet und lässt sich somit wesentlich kostengünstiger in grossen Serien herstellen.

Die gemäss Anspruch 2 bevorzugte Oszillatorfrequenz von 300 bis 700 Hz, insbesondere um 500 Hz, ist besonders vorteilhaft und stromsparend für einen RC-Oszillator.

Die Ausgestaltung des Impulszählers mit D-Flip-Flops nach Anspruch 3 ist besonders geeignet für einen strom- und platzsparenden Schaltungsaufbau.

Es hat sich dabei in der Praxis bewährt, den programmierbaren logischen Schaltkreis gemäss Anspruch 4 mit Gruppen von parallelen UND-Gattern und/oder NAND-Gattern aufzubauen. Eine solche Schaltung lässt die erwünschten Verzögerungen einfach und leicht einstellbar vom Impulszähler ableiten.

Die integrierte elektronische Schaltung auf CMOS-Basis nach Ansprüch 5 minimalisiert den Ruhestrom, so dass die gesamte Schaltungsanordnung einen sehr geringen Stromverbrauch aufweist und sich deshalb hervorragend eignet. Der Aufbau einer solchen CMOS-Schaltung mit programmierbaren Standardzellen gemäss Ansprüch 6 hat den grossen Vorteil, dass sehr kurze Verbindungswege zwischen den elektronischen Bauelementen entstehen und somit der Stromverbrauch nochmals reduziert wird.

Die Eingangsschaltung gemäss Anspruch 7 hat eine sichere Ansteuerung des Zündelementes und gleichzeitig eine weitere Stromreduktion zur Folge.

Der Aufbau mit Flip-Flop-Schaltungen nach Anspruch 8 hat sich dabei in der Praxis besonders gut bewährt.

Das Gehäuse des elektrischen Zünders nach Anspruch 9 gewährleistet eine hohe mechanische Stabilität bei der Abschussbeschleunigung und beim Aufprall und kann insbesondere bei einem elektrischen Zünder mit einer aus Standardzellen aufgebauten CMOS-Schaltung sehr klein gestaltet werden.

Die besondere Ausgestaltung des Gehäuses nach Anspruch 10 ermöglicht, die Programmierung des logischen Schaltkreises durch Einlöten von Widerständen und oder Drahtbrücken erst am Ende der Montage vorzunehmen.

Weitere Vorteile der Erfindung ergeben sich aus der nachfolgenden Beschreibung. Dort wird die Erfindung anhand eines in den Zeichnungen dargestellten Ausführungsbeispieles näher erläutert. Dabei zeigt:

Fig. 1 ein Schema der Schaltungsanordnung eines elektrischen Zünders, und

Fig. 2 das Schema des in Fig. 1 angedeuteten Impulszählers.

In Fig. 1 sind links verschiedene Funktionen des elektrischen Zünders bezeichnet:

- NVZ ist die Schaltung für eine unverzögerte Zündung und besteht aus einem NAND-Flip-Flop SR \cdot , zwei Invertern I $_1$ und I $_2$, einem Treiber B $_1$ und einem Programmierschalter S $_1$. Der Eingang \overline{S} des NAND-Flip-Flops SR $_1$ ist über den Treiber B $_1$ mit dem Programmierschalter S $_1$ verbunden und der Ausgang \overline{Q} ist mit zwei in Serie geschalteten Invertern I $_1$ und I $_2$ rückgekoppelt, d.h. mit dem Eingang des Treibers B $_1$ verbunden. Andererseits ist der Ausgang \overline{Q} des NAND-Flip-Flops SR $_1$ mit einem UND-Gatter A $_2$ verbunden.
- PIEZO ist die Schaltung für den piezoelektrischen Zündkontakt, d.h. den Aufschlagkontakt, und besteht aus einem NAND-Flip-Flop SR₂, einem signalspeichernden D-Flip-Flop F₁, zwei Invertern I₃ und I₄ und einem piezoelektrischen Impulsgeber PI. Der Eingang des NAND-Flip-Flops SR₂ ist über den Inverter I₃ mit dem piezoelektrischen Impuls-

geber PI verbunden, und der Ausgang Q ist über den Inverter I4 rückgekoppelt, d.h. mit dem Eingang des Inverters I3 verbunden. Der Ausgang Q des NAND-Flip-Flops SR2 ist mit dem Eingang C des D-Flip-Flops F1 verbunden, dessen anderer Eingang D stets mit einem logischen Eins beaufschlagt ist. Der Ausgang Q des D-Flip-Flops F1 ist über ein ODER-Gatter O1 mit UND-Gatter A2 verbunden.

- ZK ist die Schaltung für den normalen Zündkontakt und besteht aus einem NAND-Flip-Flop SR₃, einem D-Flip-Flop F₂, zwei Invertern I₅ und I₆, einem Treiber B₂ und einem Kontaktschalter K. Der Eingang S des NAND-Flip-Flops SR₃ ist über den Treiber B₂ mit dem an Masse schaltenden Kontaktschalter K verbunden, und der Ausgang Q ist über die zwei Inverter I₅ und I₆ rückgekoppelt, d.h. mit dem Eingang des Treibers B₂ verbunden. Der Ausgang Q des NAND-Flip-Flops SR₃ ist mit dem Eingang C des D-Flip-Flops F₂ verbunden, dessen Eingang D wiederum an einem logischen Eins angelegt ist. Der Ausgang Q des D-Flip-Flops F₂ ist über das ODER-Gatter O₁ mit UND-Gatter A₂ verbunden.
- PROG ist die Schaltung für die Einstellung der Verzögerungszeiten für die Vorrohrsicherheit, für die Eindringverzögerung und für die Selbstzerlegung und besteht aus den beiden Programmierschaltern S2 und S3 mit nachgeschalteten Invertern I7 und I8 bzw. I9 und I10. Die Programmierschalter S2 und S3 schalten an die Speisespannung + V. Die Ausgänge der Inverter I8 und I10 sind mit den Eingängen PROG eines -weiter unten ausführlich beschriebenen Impulszählers IZ verbunden.
- OSZ ist die Oszillatorschaltung für die Erzeugung der richtigen Taktfrequenz und besteht aus den Treibern B₃ und B₄, den Invertern I₁₁ bis I₁₅, den Kondensatoren C1 und C2 und dem Widerstand R₁. In einem ersten Zweig der Oszillatorschaltung sind der Inverter I12 der Treiber B3 und der Widerstand R1 hintereinander geschaltet. In einem zweiten Zweig sind der Inverter I13, der Inverter I11 und der Kondensator C1 hintereinander geschaltet, wobei der Ausgang des Inverters In über den Kondensator C2 an Masse gelegt ist. In einem dritten Zweig sind der Inverter I14 und der Treiber B4 hintereinander geschaltet. Die Enden der Zweige sind miteinander verbunden, wobei der Eingang des Inverters I12 mit dem Ausgang des Inverters I₁₃ verbunden ist. Der Ausgang des Treibers B₄ ist mit dem Eingang des Inverters I13 und einem weiteren Inverter I₁₅, der das Oszillator-signal oder die Taktfrequenz an den Eingang OSZ des Im-pulszählers IZ und an einen Inverter I23 weiterführt, ver-
- RESET ist die Schaltung der Rückstellung der Flip-Flop-Schaltungen und des Impulszählers IZ und besteht aus einem mit Masse verbundenen

10

20

25

Inverter I_{16} , zwei an dessen Ausgang verbundenen, in Serie geschalteten Invertern I_{17} und I_{18} , und einem Ladekondensator C_3 am Ausgang des Inverters I_{16} . Der Ausgang des Inverters I_{16} ist über ein UND-Gatter A_1 mit den Eingängen \overline{R} der NAND-Flip-Flops SR_2 und SR_3 verbunden, über einen weiteren Inverter I_{19} mit den Rückstelleingängen R der D-Flip-Flops F_3 bis F_7 und über einen Inverter I_{20} mit dem Eingang \overline{R} des NAND-Flip-Flops SR_1 . Der Ausgang des Inverters I_{19} ist zusätzlich über ein ODER-Gatter O_2 mit dem Rückstelleingang R-SET des Impulszählers IZ verbunden.

Ferner ist in Fig. 1 der Ausgang VS des Impulszählers, der das Verzögerungssignal für die Vorrohrsicherheit liefert, mit dem Eingang C eines D-Flip-Flops F₃ verbunden, dessen Eingang D mit einem logischen Eins beaufschlagt ist. Der Ausgang Q des D-Flip-Flops F3 ist mit dem Eingang D eines weiteren D-Flip-Flops F4 und mit einem EXOR-Gatter X₁ verbunden. Der Eingang C des D-Flip-Flops F4 ist über dem Inverter I23 mit dem Oszillatorsignal oder der Taktfrequenz beaufschlagt. Der Ausgang Q des D-Flip-Flops F4 ist mit dem EXOR-Gatter X₁ verbunden, dessen Ausgang über einen Inverter $l_2 \cdot$ mit dem UND-Gatter A_1 verbunden ist. Zusätzlich ist der Ausgang Q des D-Flip-Flops F4 über einen Inverter I22 mit den Rückstelleingängen R der D-Flip-Flops F1 und F2 verbunden. Die nach dem Inverter I23 invertierte Taktfrequenz wird ferner den Eingängen C zweier weiterer D-Flip-Flops F5 und F6 zugeführt, wobei vor dem Eingang C des D-Flip-Flops F5 noch ein Treiber B5 zwischengeschaltet ist. Der Eingang D dieses D-Flip-Flops F5 ist mit dem Ausgang des ODER-Gatters Or verbunden. Der Ausgang Q des D-Flip-Flops F₅ ist einerseits mit einem EXOR-Gatter X2 verbunden und andererseits mit dem Eingang D des D-Flip-Flops F6. Der Ausgang Q dieses D-Flip-Flops F₅ ist seinerseits mit dem EXOR-Gatter X2 verbunden, dessen Ausgang mit dem ODER-Gatter O2 in Verbindung steht. Des weiteren ist der Ausgang Q des D-Flip-Flops F6 mit einem UND-Gatter A3 verbunden, das zusätzlich mit dem Ausgang VERZ des Impulszählers IZ in Verbindung steht, welcher das Verzögerungssignal für die Eindringverzögerung liefert. Der Ausgang des UND-Gatters A3 ist mit einem ODER-Gatter O3 verbunden, das ferner mit dem Ausgang des UND-Gatters A2 und mit dem Ausgang SZ des Impulszählers IZ, welches das Signal für die Selbstzerlegung liefert, in Verbindung steht. Der Ausgang dieses ODER-Gatters O3 ist mit dem Eingang C eines signalspeichernden D-Flip-Flops F7 verbunden. Der Ausgang Q dieses D-Flip-Flops F7 ist an ein UND-Gatter A4 angelegt, das ferner mit dem Ausgang des Inverters I₁₈ verbunden ist. Der Ausgang des UND-Gatters A₄ ist über einen Treiber B₅ mit dem Gate eines Zündthyristors Th verbunden, dessen Anode über einem niederohmigen Zündelement ZE an der Speisespannung $+\,V$ und dessen Kathode an Masse angeschlossen ist. Das Gate des Thyristors Th ist noch über einen Widerstand R_2 mit Masse verbunden.

In Fig. 2 ist schematisch der Schaltungsaufbau des Impulszählers IZ dargestellt, wobei die Eingänge PROG, OSZ und RESET und die Ausgänge VS, VERZ und SZ mit den Anschlüssen in Fig. 1 übereinstimmen.

Die zwei Eingänge PROG sind je mit einem Inverter I₂₄ bzw. I₂₅ verbunden. Der obere Eingang PROG ist zusätzlich mit zwei parallelen UND-Gattern A₅ und A₆ verbunden, der untere Eingang PROG mit dem UND-Gatter A₅ und einem parallelen UND-Gatter A₇. Der Ausgang des Inverters I₂₄ ist mit dem UND-Gatter A₇ und einem parallelen UND-Gatter A₈ verbunden, und der Ausgang des Inverters I₂₅ mit den UND-Gattern A₆ und A₈. Somit bilden die vier UND-Gattern A₅ bis A₈ eine erste parallele Gruppe von UND-Gattern, die in Serie mit zwei weiteren parallelen Gruppen von UND-Gattern A₉ und A₁₂, bzw. A₁₃ bis A₁₆ geschaltet sind, d.h. UND-Gatter A₅ ist mit UND-Gatter A₉ und mit UND-Gatter A₁₃ verbunden, usw.

Der eigentliche Impulszähler IZ oder Frequenzteiler besteht aus neunzehn D-Flip-Flops F_{10} bis F_{28} , die folgendermassen miteinander verbunden sind:

Der Eingang C des D-Flip-Flops F₁₀ ist am Oszillatoreingang OSZ angeschlossen. Der Ausgang Q ist einerseits mit seinem Eingang D verbunden und andererseits mit dem Eingang C des nachfolgenden Flip-Flops F₁₁. Der Ausgang Q dieses D-Flip-Flops F₁₁ ist sodann mit seinem Eingang D und mit dem Eingang C des nachfolgenden D-Flip-Flops F₁₂ verbunden, usw.

Die Rückstelleingänge R dieser D-Flip-Flops F₀ bis F₂₈ sind über einen Inverter I₂₉ und einem weiteren Inverter I26, I27 bzw. I28 mit dem Eingang RESET des Impulszählers IZ verbunden. Ausgewählte Ausgänge Q an nachfolgenden D-Flip-Flops sind nun mit den Eingängen der parallelen Gruppen von UND-Gattern As bis A12 bzw. A13 bis A16 verbunden. Insbesondere sind der Ausgang Q von F-4 mit A₉, von F₁₅ mit A₁₂, von F₁₆ mit A₁₀, von F_{17} mit A_{11} , und von F_{22} mit A_{13} , von F_{23} mit A_{14} , von F26 mit A15 und von F28 mit A16 verbunden. Die Ausgänge der zweiten Gruppe von parallelen UND-Gattern A9 bis A12 sind über einem ODER-Gatter O₄ zusammengefasst und liefern das Verzögerungssignal VS der Vorrohrsicherheit. Die Ausgänge der dritten Gruppe von parallelen UND-Gattern A₁₃ bis A₁₆ sind ebenfalls über einem ODER-Gatter O₅ zusammengefasst und liefern das Selbstzerlegungssignal SZ. Da die Eindringverzögerung für die bekannten Munitionsarten stets gleichbleibend ist - oder bei einer sehr kurzen Verzöge25

35

rungszeit in der Grössenordnung von 0,2 bis 0,5 ms pyrotechnisch verwirklicht wird - genügt eine einzige Zeitverzögerung. Deshalb ist hier der Ausgang VERZ des Impulszählers IZ stets mit dem Ausgang Q des D-Flip-Flops F₁₇ verbunden.

Die Funktionsweise des elektrischen Zünders ist nun wie folgt:

Der Oszillator OSZ liefert am Eingang des Impulszählers IZ ein Oszillatorsignal, hier eine Rechteckimpulsfolge mit einer Frequenz von 500 Hz, und liegt an dem ersten D-Flip-Flop Fro an. Aufgrund der speziellen, oben beschriebenen Schaltung der D-Flip-Flops wird das angelegte Oszillatorsignal verzögert weitergegeben, so dass beim Eingang des zweiten D-Flip-Flops F., ein Oszillatorsignal mit der halben Frequenz, d.h. 250 Hz, anliegt usw. Die Schaltung der D-Flip-Flops bildet daher auch einen Frequenzteiler. Deshalb ist die Impulsbreite der am Ausgang des D-Flip-Flops F14 anliegenden Impulsfolge 32 msec breit, am F-5 64 msec, am F1; 128 msec, am F17 256 msec, am F22 8 Sekunden, am F_{23} 16 Sekunden, am F_{26} 128 Sekunden und am F28 512 Sekunden.

Je nach Stellung der Programmierschalter S_2 und S_3 liefert eines der UND-Gatter A_5 bis A_8 ein logisches Eins und die anderen drei UND-Gatter ein logisches Null, d.h. dass eines der UND-Gatter A_9 bis $A_{1,2}$ ein logisches Eins liefert, wenn eine positive Flanke der vom zugehörigen D-Flip-Flop erzeugten Rechteckimpulsfolge auftritt. Damit wird die erwünschte Verzögerungszeit der Vorrohrsicherheit am Ausgang VZ erzeugt.

Eine sinngemässe Erklärung gilt für die Gruppe von parallelen UND-Gattern A₁₃ bis A₁₆, wodurch das Verzögerungssignal der Selbstzerlegung am Ausgang SZ erzeugt wird.

Das Verzögerungssignal der Vorrohrsicherheit wird nun im signalspeichernden D-Flip-Flop F₃ gespeichert, und im D-Flip-Flop F₄ um 1 msec verzögert. Diese beiden Signale werden am EXOR-Gatter X- weitergegeben, dessen Ausgang vor Ablauf der Verzögerung ein logisches Eins und nach Ablauf der Verzögerung ein logisches Null abgibt.

Nach dem Abschuss des Geschosses erzeugt der elektromagnetische Generator die Speisespannung + V, wodurch die Rückstellschaltung wirksam wird. Der innere Widerstand des Inverters I₁₆ ergibt als Pullup-Widerstand eine Spannung über dem Kondensator C₃, so dass dieser sich auflädt. Sobald die Ansteuerschwelle des Inverters I₁₇, eigentlich eines Schmitt-Triggers, überwunden ist, wird das Rückstellsignal abgeschaltet, was nach einigen µsec zutrifft.

Sobald die Rückstellung der Flip-Flops von der Rückstellschaltung RESET vollzogen ist, liegen bei Auftreten einer positiven Flanke des Verzögerungssignals zwei Signale mit einem logischen Eins am UND-Gatter A. an, so dass die Signale der Ein-

schaltorgane PIEZO und ZK weitergegeben werden können, d.h. diese werden in dem speichernden D-Flip-Flop F₁ bzw. F₂ gespeichert und im NAND-Flip-Flop SR₂ bzw. SR₃ rückgekoppelt. Diese Rückkopplung bewirkt, dass die angelegte Eingangsspannung unterdrückt wird und dass kein Strom mehr durch den Zündkontaktschalter K bzw. durch den piezoelektrischen Impulsgeber PI fliesst. Die Rückkopplung selbst lässt sich anhand des Beispieles für den Zündkontakt wie folgt erklären:

Der innere Widerstand des Inverters I₅ wirkt als Pullup-Widerstand für den Zündkontaktschalter K. Liegt nun ein Kurzschluss am Schalter K an (Zündereignis), so wird über den Treiber B₂ das NAND-Flip-Flop SR₃ gesetzt und das Signal über dessen Q-Ausgang am D-Flip-Flop F₂ weitergeschoben. Sobald das NAND-Flip-Flop SR₃ gesetzt ist, wird über den Ausgang Q der Inverter I₅ angesteuert und der innere Widerstand oder Pullup-Widerstand vom Inverter I₅ invertiert, d.h. zu einem Pulldown-Widerstand. Damit wird aber der am piezoelektrischen Impulsgeber PI anliegende Kurzschluss überbrückt, d.h. unwirksam gemacht, so dass kein Strom mehr durch den Impulsgeber PI fliesst.

Diese Schaltung mit einem impulsgesteuerten Speicherelement (D-Flip-Flop F_2) und einem gegengekoppelten Steuerelement (NAND-Flip-Flop SR_3) bewirkt deshalb, dass die positive Schaltflanke eines angelegten Impulssignals gespeichert und anschliessend der Stromverbrauch reduziert wird. Das impulsgesteuerte Steuerelement oder D-Flip-Flop F_2 dient gleichzeitig zur Unterdrückung von möglichen transienten Störsignalen.

Das Ausgangssignal des F-Flip-Flops F_1 bzw. F_2 wird nun über das ODER-Gatter O_1 auf das UND-Gatter A_2 geführt. Von der Schaltung für eine unverzögerte Zündung NVZ folgt nun beispielsweise ein positives Signal, so dass das Ausgangssignal an das ODER-Gatter O_3 weitergeführt im D-Flip-Flop F_7 gespeichert und über das UND-Gatter A_4 auf den Treiber B_6 geführt wird, der das Gate des Zündthyristers Th ansteuert, wodurch eine Zündung der Munition erfolgt. Bedingung dazu ist, dass am UND-Gatter A_4 ein Nicht-Rückstellsignal vom Inverter I_{18} anliegt.

Ist jedoch eine Verzögerung erwünscht, so wird das UND-Gatter A_2 von der Schaltung NVZ gesperrt, wodurch das Ausgangssignal des D-Flip-Flops F_1 bzw. F_2 an den D-Eingang des D-Flip-Flops F_5 anliegt. Am Eingang C dieses Flip-Flops F_5 liegt die invertierte Rechteckimpulsfolge des Oszillators an, wodurch das Signal am D-Eingang erst nach einer Verzögerung von 1 msec. an den D-Eingang des Flip-Flops F_6 weitergegeben wird. Mit dem EXOR-Gatter X_2 wird festgestellt, ob ein Ausgangssignal eines Einschaltorgans PIEZO oder ZK vorliegt, welches dann die Rückstellung des

Impulszählers IZ bewirkt, so dass die Zeitverzögerung für beispielsweise die Eindringverzögerung von neuem zu laufen beginnt. Liegt nun das Verzögerungssignal des Ausgangs VERZ des Impulszählers IZ und das Ausgangssignal des Q-Ausgangs des Flip-Flops F₇ gleichzeitig am UND-Gatter A₃ an, so wird ein positives Zündsignal abgegeben und die Zündung der Munition bewirkt.

Letztendlich, wenn kein - verzögertes oder unverzögertes -Zündsignal von einem der Kontaktorgane PIEZO oder ZK vorliegt, erfolgt ein Selbstzerlegungssignal, das nach einer längeren Zeitdauer in der Grössenordnung von Minuten eine Zündung der Munition bewirkt. Damit besteht keine Gefahr mehr, dass Blindgänger nach Jahren noch detonieren können, was vor allem für Übungsmunition von grosser Bedeutung ist.

Es versteht sich, dass auch andere ähnliche Ausführungen der elektronischen Schaltungsanordnung möglich sind, die die oben beschriebenen Verzögerungen ergeben. Insbesondere kann der programmierbare logische Schaltkreis mit den Gruppen von UND-Gattern auch mit Gruppen von NAND-Gattern aufgebaut sein.

Die oben beschriebene Schaltungsanordnung wurde mit einem kundenspezifisch integrierten Schaltkreis PACMOS IID von RCA realisiert. Dieser Schaltkreis besteht aus Blöcken von Standardzellen auf CMQS-Basis, welche mittels eines Computerprogrammes gemäss dem entworfenen Schaltungsschema miteinander verbunden werden. Diese Art von integrierten Schaltungen haben besonders kurze Verbindungswege und erlauben daher einen kompakten Aufbau in einem sehr kleinen Gehäuse. Damit ist der obige elektrische Zünder sowohl für Artilleriegeschosse, Mörsergeschosse, Geschosse ab Helikopter- oder Flugzeugbordwaffür Panzerabwehr-Raketen, fen als auch Flugabwehr-Geschosse und Flugkörper geeignet.

Das Gehäuse des elektrischen Zünders hat zusammen mit dem pyrotechnischen Auslösemechanismus einen Durchmesser von 20 mm und eine Höhe von 10 mm. Es besteht aus einer hochfesten, elektrisch leitenden Metallegierung, wie beispielsweise Ti Al 6V4, und besitzt somit einen ausgezeichneten Schutz gegen elektromagnetische Fremdstrahlungen wie elektromagnetische oder nuklear-elektromagnetische Pulse (EMP NEMP). Die in Fig. 1 dargestellte Zündschaltung ist gesamthaft in dem Gehäuse untergebracht - mit Ausnahme des piezoelektrischen Impulsgebers PI und des Zündkontaktschalters K - und wird mit einem Giessharz eines hochfesten Kunststoffes. wie beispielsweise mit dem Harz CY 223, dem Härter Hy 842 und Microdol als Füllstoff (Ciba Geigy), in das Gehäuse eingegossen.

Der derart hergestellte elektrische Zünder weist daher eine sehr hohe mechanische Stabilität auf,

und widersteht problemlos Abschussbeschleunigungen und Aufprallverzögerungen von bis zu 50'000 g. Die Zuverlässigkeit des obigen elektrischen Zünders mit RC-Oszillator ist wesentlich grösser als bei einem herkömmlichen Zünder mit üblichen Quarz-Oszillator. Praktische Schlagprüfungen mit einer Amplitude von 600 g bei einer Anstiegszeit von 3 msec. und einer ebensolchen Abfallzeit auf 0 g haben in sechs verschiedenen Lagen die volle Funktionstüchtigkeit bewiesen (Vorschrift MIS-33158E). Auch Vibrationsprüfungen in drei verschiedenen Achsrichtungen konnten die Funktion des Zünders nicht beeinträchtigen. Dazu wurde in einer ersten Prüfung die Frequenz der angewandten sinusförmigen Vibrationen von 600 Hz auf 900 Hz bei einer Auslenkung von 0.0254 mm (1/1000 Zoll) gleichmässig erhöht. Die Prüfungsdauer betrug 3 Minuten und 40 Sekunden je Achse. In einer zweiten Prüfung wurde die Frequenz von 40 Hz auf 312 Hz bei einer konstanten Beschleunigung von 5 g gleichmässig erhöht, sodann gleichzeitig die Frequenz auf 1161 Hz und die Beschleunigung auf 75 g gleichmässig erhöht, und dann wurde die Fre quenz bei konstanter Beschleunigung von 75 g auf 2000 Hz gleichmässig erhöht. Die Prüfungsdauer betrug 10 Minuten je Achse.

Ansprüche

- 1. Elektrischer Zünder für ein Geschoss mit einem elektrischen Zündgenerator und einem die Zündenergie speichernden Kondensator, an welchem eine Zündkette mit einem Einschaltorgan und einer elektronischen Schaltungsanordnung angeschlossen ist, die die Vorrohrsicherheit, die Eindringverzögerung des Geschosses und dessen Selbstzerlegung überwacht und steuert, dadurch gekennzeichnet, dass
- ein einziger niederfrequenter RC-Oszillator (OSZ) einen Impulszähler (IZ) mit einer Impulsfolge beaufschlagt,
- der Impulszähler (IZ) von der eingehenden Impulsfolge abgeleiteten Steuersignale an mehreren Ausgängen bereitstellt, und
- ein programmierbarer logischer Schaltkreis (PROG) mit einer Schaltung von logischen Gattern durch Verbinden mit dem zugehörigen Ausgang des Impulszählers (IZ) ein Steuersignal für die Vorrohrsicherheit, ein Steuersignal für die Eindringverzögerung und ein Steuersignal für die Selbstzerlegung auswählt und an ein logisches Schaltnetz für den pyrotechnischen Auslösemechanismus weiterführt.
- 2. Elektrischer Zünder nach Anspruch 1, dadurch gekennzeichnet, dass der niederfrequente Oszillator (OSZ) eine Frequenz in einem Bereich

55

von 300 bis 700 Hz, insbesondere von 500 Hz, aufweist.

- 3. Elektrischer Zünder nach Anspruch 1 oder 2. dadurch gekennzeichnet, dass der mit mehreren Ausgängen versehene Impulszähler (IZ) aus einer Anzahl von aufeinanderfolgenden D-Flip-Flop-Schaltungen (Fig. bis Fig.) besteht.
- 4 Elektrischer Zünder nach einem der Ansprüche 1 bis 3. dadurch gekennzeichnet, dass der programmierbare logische Schaltkreis im wesentlichen aus Gruppen von parallelen UND-Gattern und oder NAND-Gattern (A $_9$ bis A $_{12}$; A $_{13}$ bis A $_{16}$) besteht, welche Gruppen einerseits mit den zugehörigen Ausgängen des Impulszählers (IZ) für die Vorrohrsicherheit, für die Eindringverzögerung und für die Selbstzerlegung verbunden sind und andererseits mit einer gleichen Gruppe von UND-Gattern und oder NAND-Gattern (A $_5$ bis A $_8$) in Serie geschaltet sind, welche die möglichen logischen Verknüpfungen der von den ausgewählten Steuersignalen abhängigen, an ihrem Eingang angelegten Spannungen bildet.
- 5. Elektrischer Zünder nach einem der Ansprüche 1 bis 4. dadurch gekennzeichnet, dass die elektronische Schaltungsanordnung eine integrierte elektronische Schaltung auf CMOS-Basis ist.
- 6. Elektrischer Zünder nach Anspruch 5. dadurch gekennzeichnet, dass die integrierte elektronische Schaltung aus programmierbaren Standardzeilen bildenden Blöcken auf CMOS-Basis besteht.
- 7. Elektrischer Zünder nach einem der Ansprüche 1 bis 6. dadurch gekennzeichnet, dass die Eingangsschaltung des Einschaltorgans (PIEZO, ZK) ein impulsgesteuertes Speicherelement (F·; F₂) mit einem gegengekoppelten Steuerelement (SR₂; SR₃) aufweist, das das angelegte Einschaltsignal nach der Ansteuerung des Speicherelementes vollständig unterdrückt.
- 8. Elektrischer Zünder nach Anspruch 7, dadurch gekennzeichnet, dass das impulsgesteuerte Speicherelement eine D-Flip-Flop-Schaltung (F_1 ; F_2) ist und das gegengekoppelte Steuerelement im wesentlichen eine NAND-Flip-Flop-Schal tung (SR_2 , SR_3) mit einem Inverter (I_4 ; I_6) als Rückkoppler ist.
- 9. Elektrischer Zünder nach einem der vorangehenden Ansprüche, dadurch gekennzeichnet, dass ein Gehäuse einer hochfesten, elektrisch leitenden Metallegierung vorgesehen ist, in welchem der elektrische Zünder mittels eines Giessharzes aus hochfestem Kunststoff eingegossen ist.
- 10. Elektrischer Zünder nach Anspruch 9, dadurch gekennzeichnet, dass das Gehäuse zunächst im Bereich des programmierbaren Schaltkreises (PROG) von aussen zugänglich ausgestaltet ist.

15

20

25

. 30

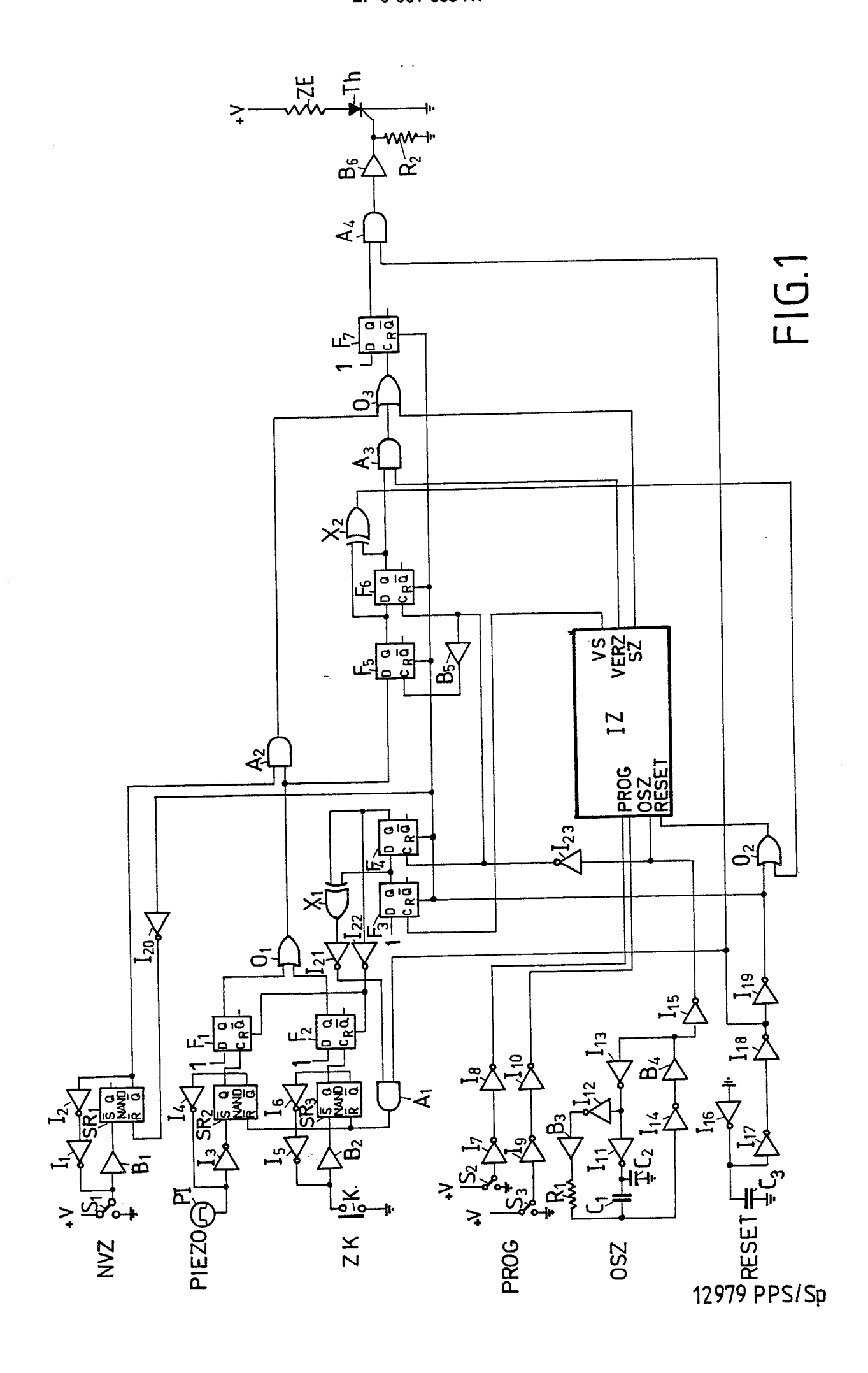
35

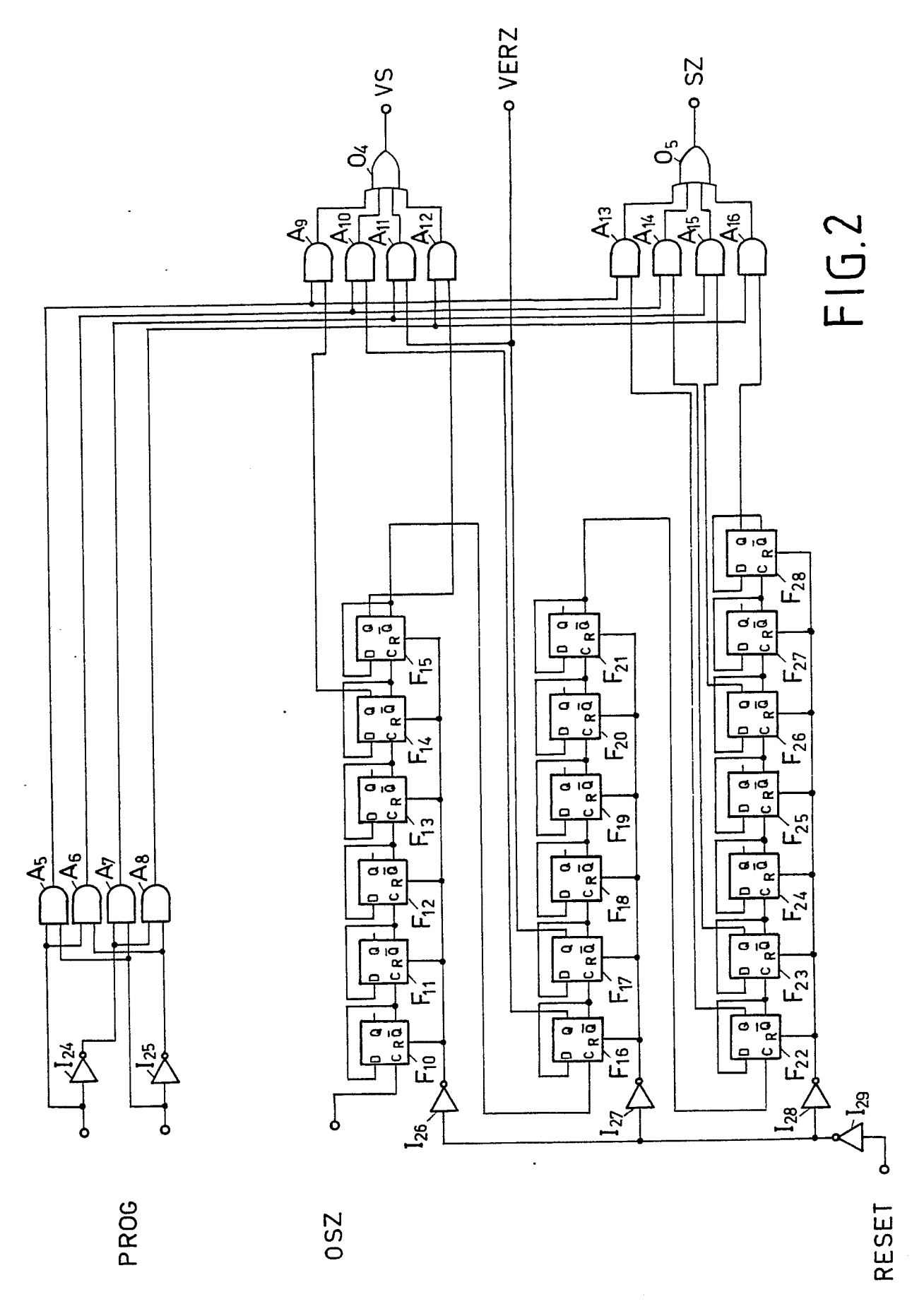
40

45

50

55





12979 PPS/Sp

EUROPÄISCHER RECHERCHENBERICHT

89 20 2322 ΕP

EINSCHLÄGIGE DOKUMENTE Kennzeichnung des Dokuments mit Angahe, soweit erforderlich, Bet			17 -4-:004	VI ACCIEWATION INCO
Kategorie	Kennzeichnung des Dokuments der maßgeblichen	mit Angabe, soweit erforderlich, Teile	Betrifft Anspruch	KLASSIFIKATION DER ANMELDUNG (Int. Cl.5)
A	GB-A-1493104 (FERRANTI LTI * Seite 3, Zeile 3 - Zeil		1	F42C11/06
A	US-A-3955069 (ZIEMBA) * Figur 2A *	,	1	
A	EP-A-0100130 (MOTOROLA INC * Anspruch 1; Figur 2 *	2.)	1	
A	FR-A-1605376 (TELEFUNKEN PATENTVERWERTUNGSGESELLSC * Figuren 1-3 *	HAFT M.B.H.)	3, 4	
A	US-A-4586437 (MIKI ET AL) * Anspruch 1 *		5, 6	
A	EP-A-0057296 (WERKZEUGMAS OERLIKON-BUEHRLE AG)	CHINENFABRIK		
A	FR-A-2574922 (ETAT FRANCA	IS)		DECUEDCHIEDTE
A	US-A-4633779 (BIGGS ET AL) -		RECHERCHIERTE SACHGEBIETE (Int. Cl.5
				F42C
		W. W. W. W.		
Der vo	orliegende Recherchenbericht wurde f			Polific
Recherchenort DEN HAAG		Abschlußdatum der Recherche 30 OKTOBER 1989	THIE	Prufer 30 F.

- X: von besonderer Bedeutung allein betrachtet
 Y: von besonderer Bedeutung in Verbindung mit einer anderen Veröffentlichung derselben Kategorie
 A: technologischer Hintergrund
 O: nichtschriftliche Offenbarung
 P: Zwischenliteratur

- : älteres Patentdokument, das jedoch erst am oder nach dem Anmeldedatum veröffentlicht worden ist
 : in der Anmeldung angeführtes Dokument
 L: aus andern Gründen angeführtes Dokument
- & : Mitglied der gleichen Patentfamilie, übereinstimmendes Dokument

1